

# KRIVKY A PLOCHY V POČÍTAČOVEJ GRAFIKE

doc. Ing. Branislav Sobota, PhD.

Katedra počítačov a informatiky, FEI TU v Košiciach

P 07

© 2024

# VRSTVY VIZUALIZAČNÉHO PROCESU

1. Definovanie/spracovanie modelu (reprezentácia, súradnicové systémy)
2. Transformácie nad objektami
3. Riešenie viditeľnosti
4. Tieňovanie
5. Osvetľovanie
6. Realistické zobrazovanie
7. Kompozícia a Vykresľovanie



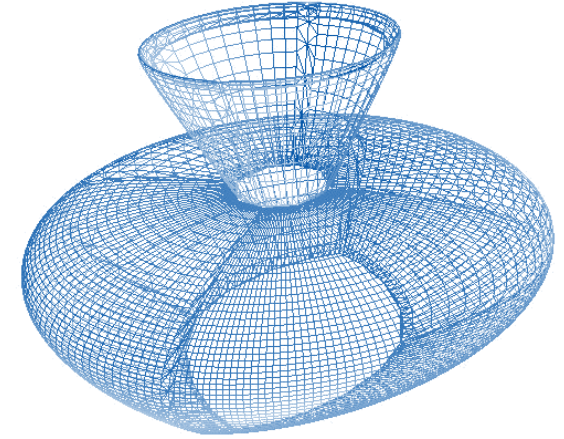
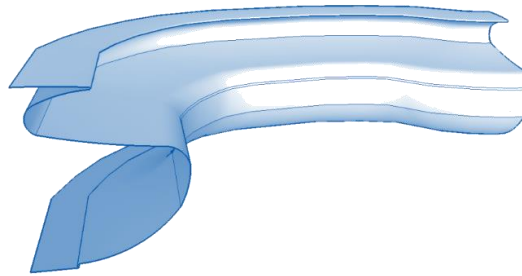
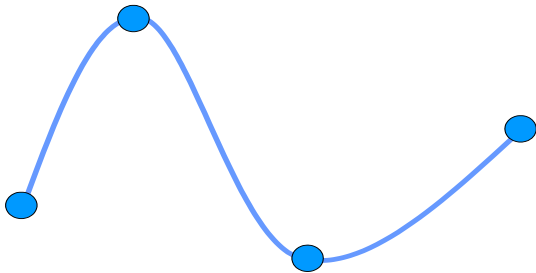
# KRIVKY POUŽÍVANÉ V PG

- krivky dané analytickým popisom
- interpolačné krivky
- aproximačné krivky

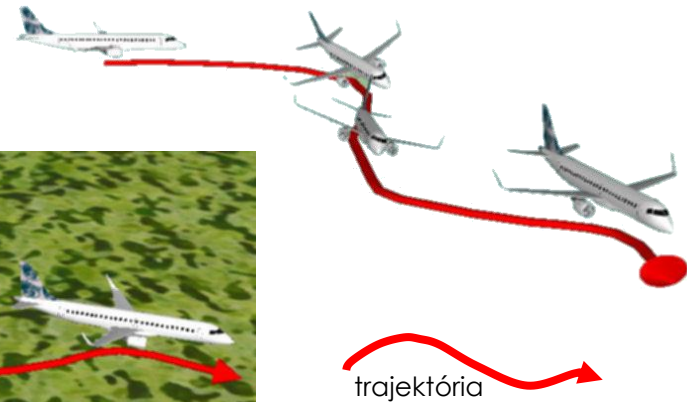


# POUŽITIE KRIVIEK A PLÔCH V PG

- Geometrická reprezentácia



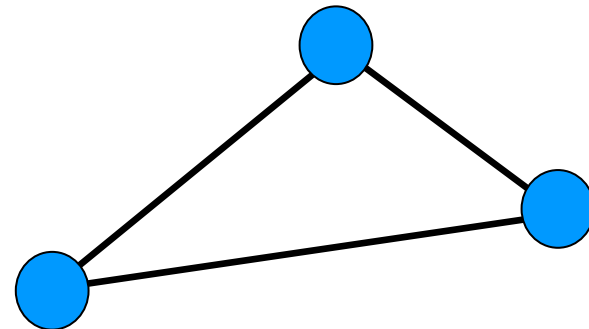
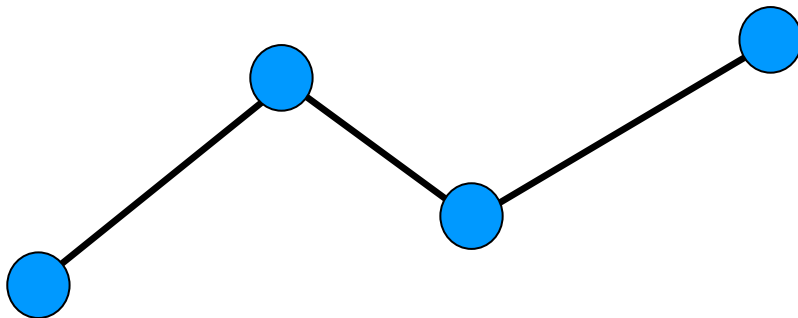
- Riadiaca funkcia



# KRIVKOVÉ 1D ÚTVARY - TYPY

1D útvar definovaný vrcholmi a hranami (segmentami)- **polyline**:

- neuzavretý (acyklický)
- uzavretý (cyklický)

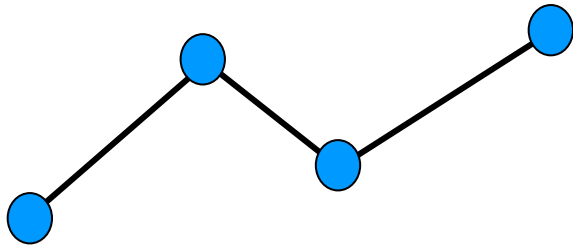


# KRIVKOVÉ 1D ÚTVARY - TYPY

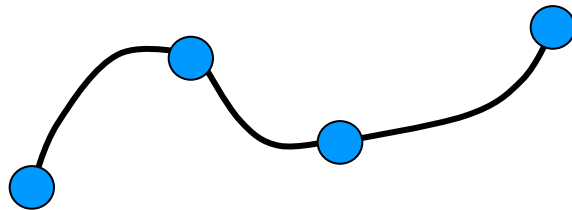
Podľa typov hrán (segmentov) krivky/čiary:

- lineárne
- nelineárne

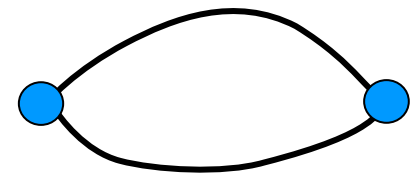
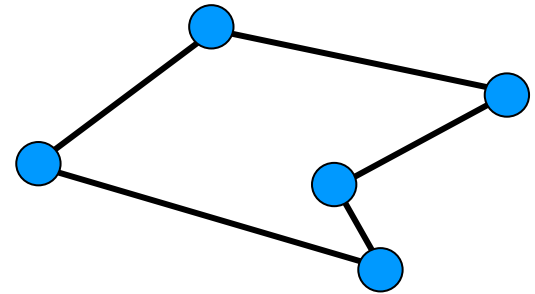
lineárne



nelineárne



acyklické  
(neuzavreté)

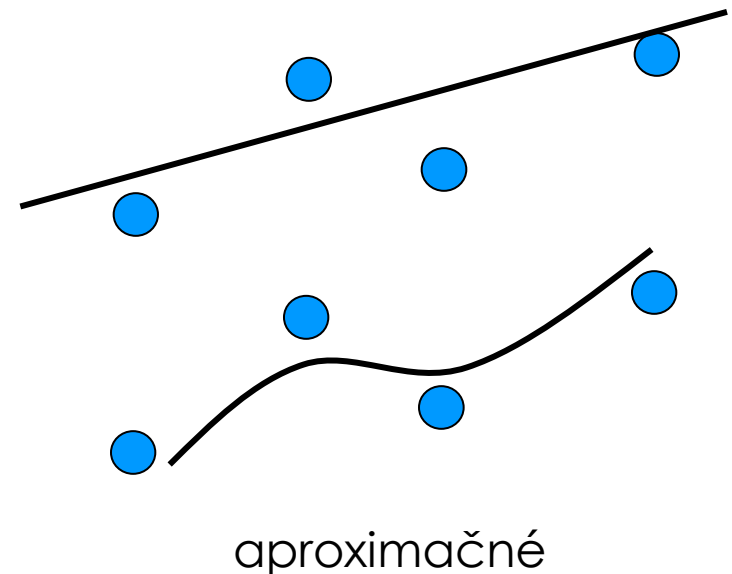
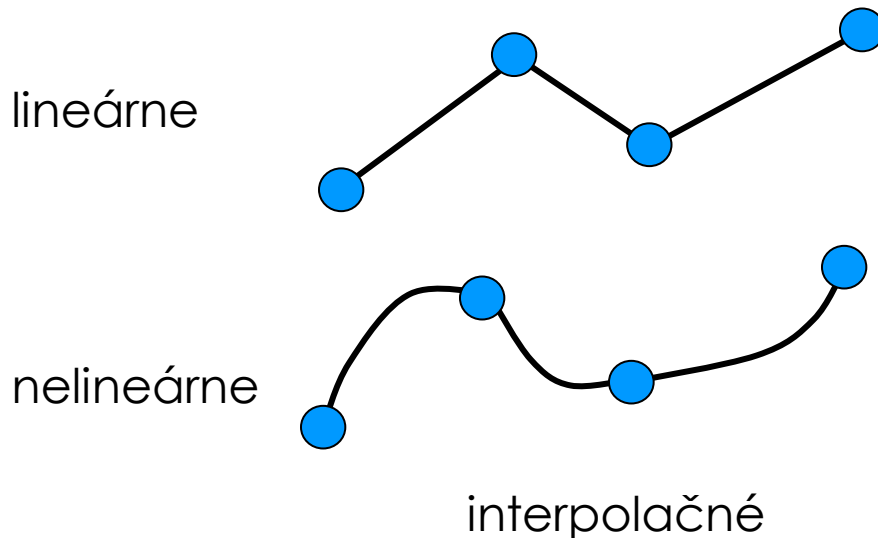


cyklické  
(uzavreté)

# KRIVKOVÉ 1D ÚTVARY - TYPY

Podľa vplyvu vrcholov na tvar krivky/čiary:

- **Interpolačné** (vrcholy sú súčasťou krivky), typovo: *lineárna* a *nelineárna*.
- **Aproximačné** (vrcholy nemusia byť súčasťou krivky, ale vplývajú na jej tvar), typovo: *lineárna* a *nelineárna*.



# POUŽÍVANÉ KRIVKY

- Lineárna interpolácia, lomená čiara
- Bézierove krivky stupňa  $n$
- Racionálne Bézierove krivky stupňa  $n$
- B-spline krivky stupňa  $n$
- Kubické B-spline krivky
  - Uniformné
  - Neuniformné
- Racionálne B-spline krivky stupňa  $n$ 
  - Uniformné
  - Neuniformné

} lineárne

} nelineárne



# MODIFIKOVATEĽNOSŤ KRIVIEK

- Zmena polohy riadiacich vrcholov
- Zmena váh riadiacich vrcholov
- Modifikácia uzlového vektora



# KRIVKY DEFINOVANÉ ANALYTICKY

$$x = f(t)$$

$$\left. \begin{array}{l} y = g(t) \end{array} \right\} t \in \langle zac, kon \rangle$$

---


$$z = h(t)$$

kde  $t$  je parameter funkcie

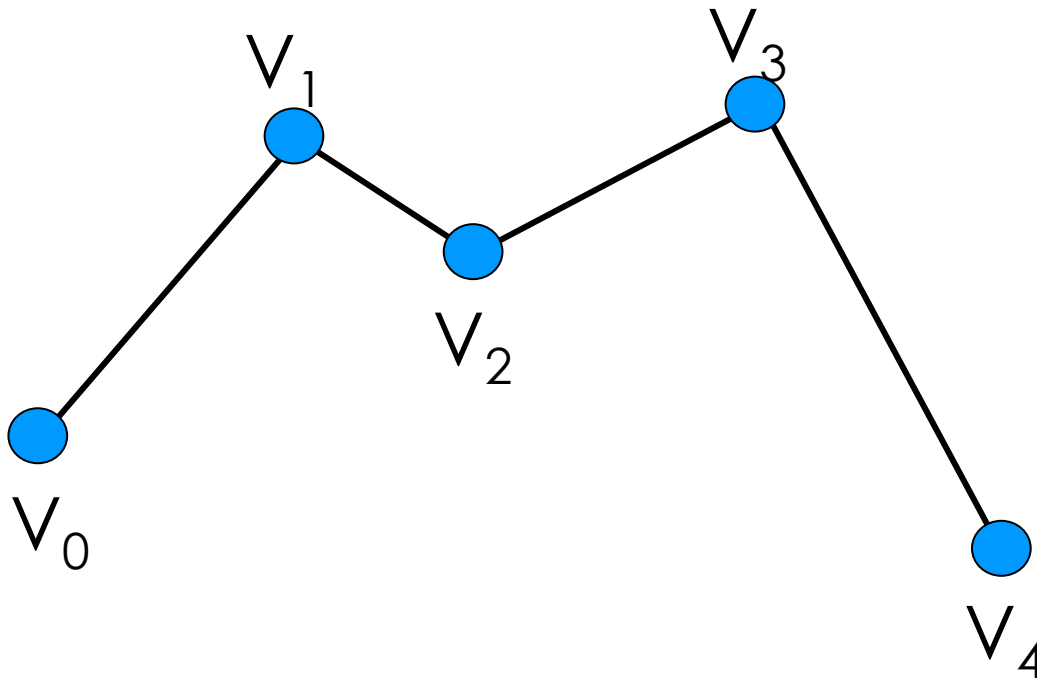
alebo (pre 2D)

$$y = f(x) \quad x \in \langle zac_x, kon_x \rangle$$

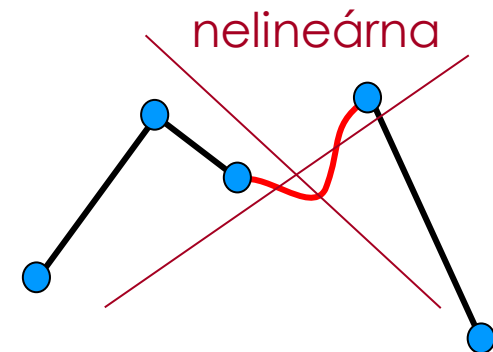
(pre 3D)

$$z = f(x, y) \quad x \in \langle zac_x, kon_x \rangle, y \in \langle zac_y, kon_y \rangle$$

# LINEÁRNA INTERPOLÁCIA, LOMENÁ ČIARA

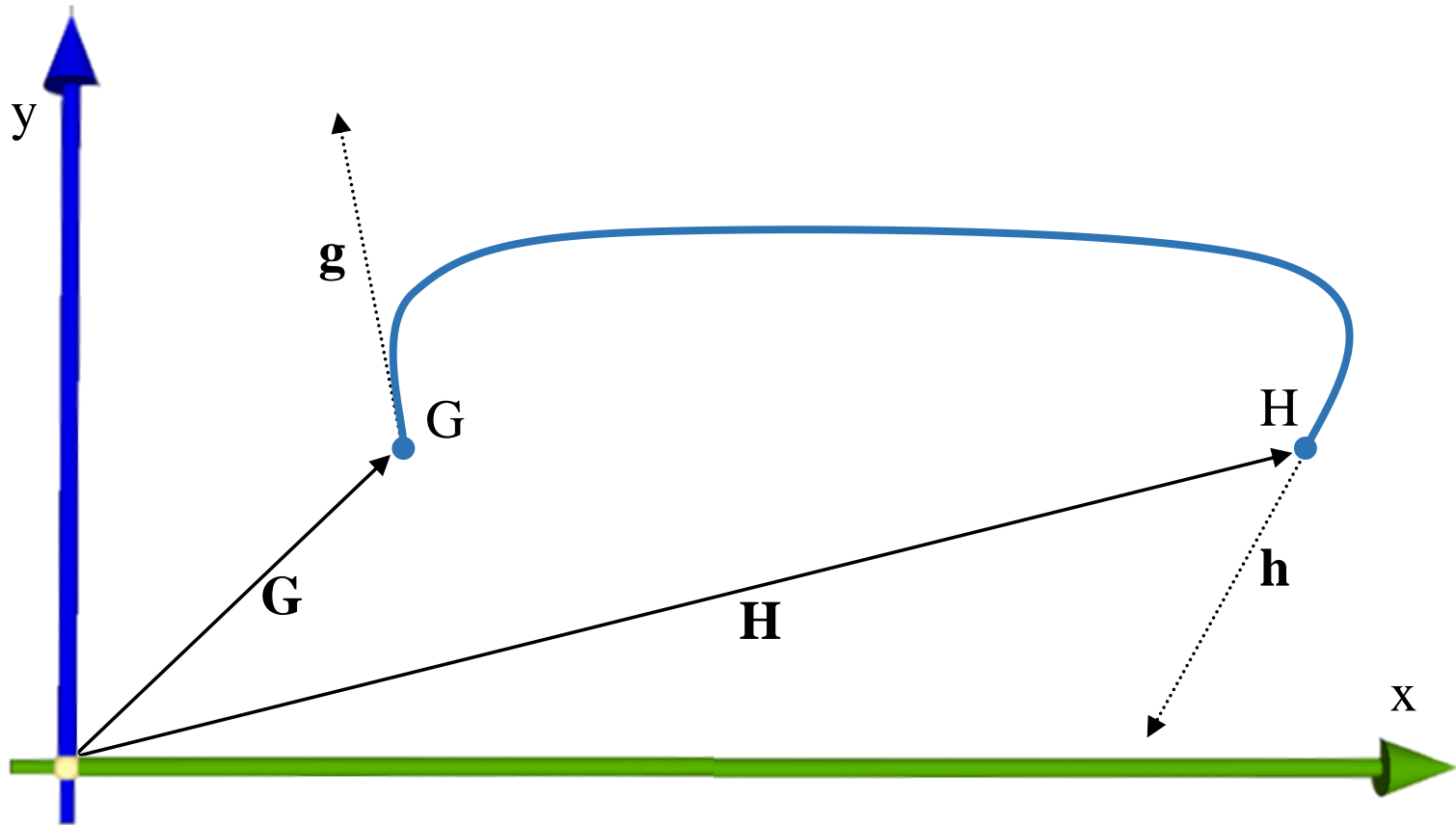


všetky segmenty musia byť lineárne



# FERGUSONOVA KRIVKA (JAMES C. FERGUSON, 1963, BOEING)

Fergusonova krivka (interpolačná krivka)



# FERGUSONOVA KRIVKA

$$\mathbf{P}(v) = \mathbf{m} \cdot v^3 + \mathbf{n} \cdot v^2 + \mathbf{p} \cdot v + \mathbf{q}$$

$v \in \langle 0, 1 \rangle$

$$\mathbf{P}_{xyz}(v) = \mathbf{m} \cdot v^3 + \mathbf{n} \cdot v^2 + \mathbf{p} \cdot v + \mathbf{q}$$

$$\mathbf{m} = 2 \cdot \mathbf{G}_{xyz} - 2 \cdot \mathbf{H}_{xyz} + \mathbf{g}_{xyz} + \mathbf{h}_{xyz}$$

$$\mathbf{n} = -3 \cdot \mathbf{G}_{xyz} + 3 \cdot \mathbf{H}_{xyz} - 2 \cdot \mathbf{g}_{xyz} - \mathbf{h}_{xyz}$$

$$\mathbf{p} = \mathbf{g}_{xyz}$$

$$\mathbf{q} = \mathbf{G}_{xyz}$$

# FERGUSONOVA KRIVKA

$$\mathbf{P}(v) = A(v) \cdot \mathbf{G} + B(v) \cdot \mathbf{H} + C(v) \cdot \mathbf{g} + D(v) \cdot \mathbf{h}$$

$$\mathbf{G}, \mathbf{H}, \mathbf{g}, \mathbf{h} \in E^3(E^2), \quad v \in \langle 0, 1 \rangle$$

$$\mathbf{P}_{xyz}(v) = A(v) \cdot \mathbf{G}_{xyz} + B(v) \cdot \mathbf{H}_{xyz} + C(v) \cdot \mathbf{g}_{xyz} + D(v) \cdot \mathbf{h}_{xyz}$$

$$A(v) = 2 \cdot v^3 - 3 \cdot v^2 + 1$$

$$B(v) = -2 \cdot v^3 + 3 \cdot v^2$$

$$C(v) = v^3 - 2 \cdot v^2 + v$$

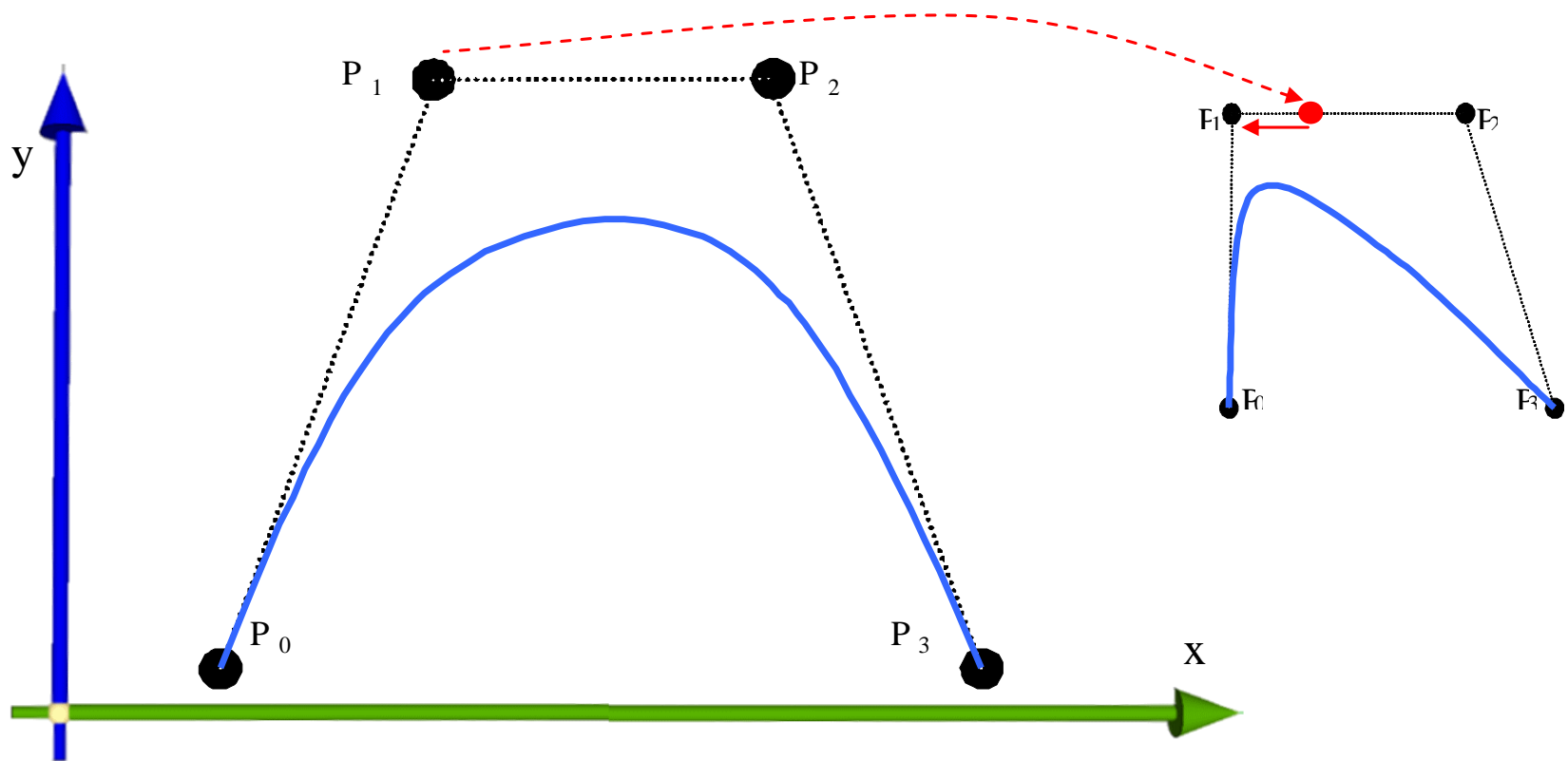
$$D(v) = v^3 - v^2$$



Hermitove polynómy  
(Ch.Hermit, 1869)

# BÉZIEROVA KRIVKA (PIERRE BÉZIER, 1960'S, RENAULT)

Bézierova kubická krivka (aproximačná krivka)

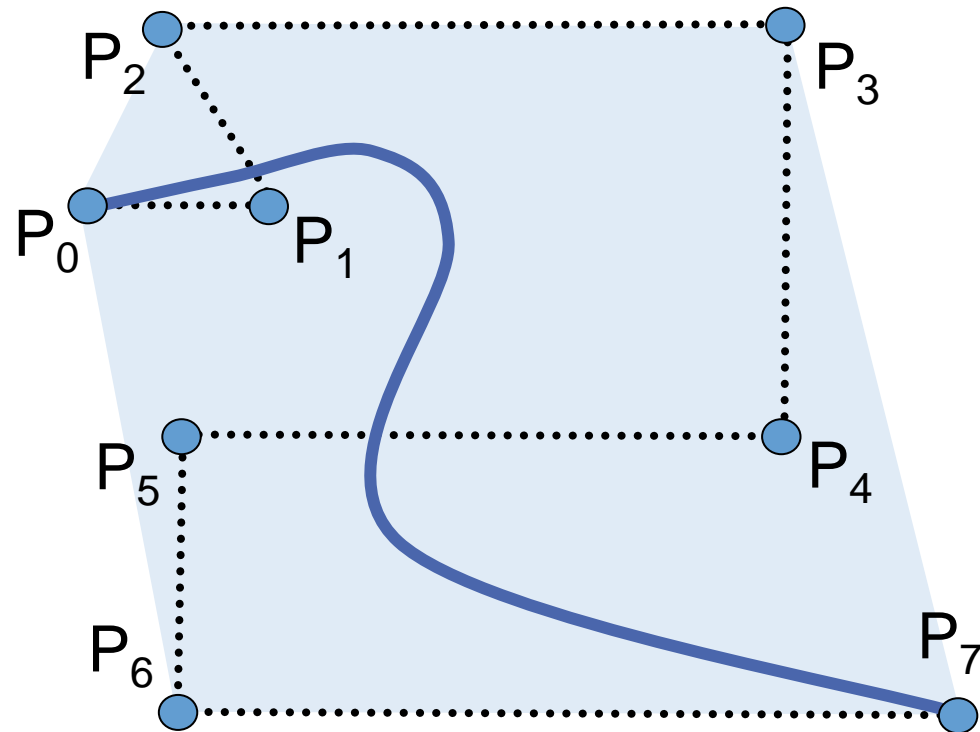


# VLASTNOSTI BÉZIEROVEJ KRIVKY

## Základné vlastnosti Bézierovej krivky stupňa $n$ :

- je aproximačného typu ale interpoluje koncové vrcholy, je uniformná
- Definovaná polynomiálnou funkciou stupňa  $n$ , kde  

$$n = \text{počet radiacich vrcholov} - 1$$
- Leží v konvexnom obale radiacich vrcholov
- Pseudolokálna kontrola
- Afinná invariancia (po aplikovaní afinných transformácií zachováva tvar)





# BÉZIEROVA KRIVKA

Bernsteinove polynómy  
(S.N.Bernstein, 1912)



$$\mathbf{R}(t) = \sum_{i=0}^m \mathbf{P}_i \cdot Be_{im}(t)$$

$$P_i \in E^3(E^2)$$

$$Be_{im}(t) = \sum_{t \in \langle 0,1 \rangle} \binom{m}{i} \cdot t^i \cdot (1-t)^{m-i}$$

# BÉZIEROVA KUBICKÁ KRIVKA

$$\mathbf{P}(t) = \mathbf{P}_0 \cdot B_0(t) + \mathbf{P}_1 \cdot B_1(t) + \mathbf{P}_2 \cdot B_2(t) + \mathbf{P}_3 \cdot B_3(t)$$

$$P_i \in E^3(E^2), \quad t \in \langle 0, 1 \rangle$$

$$\mathbf{P}_{xyz}(t) = \mathbf{P}_{0xyz} \cdot B_0(t) + \mathbf{P}_{1xyz} \cdot B_1(t) + \mathbf{P}_{2xyz} \cdot B_2(t) + \mathbf{P}_{3xyz} \cdot B_3(t)$$

$$\left. \begin{aligned} B_0(t) &= (1-t)^3 \\ B_1(t) &= 3 \cdot t \cdot (1-t)^2 \\ B_2(t) &= 3 \cdot t^2 (1-t) \\ B_3(t) &= t^3 \end{aligned} \right\} \text{ pre } t \in \langle 0, 1 \rangle$$

# SPLINE KRIVKA

Spline funkciou stupňa  $m$  pre daných  $n+1$  bodov  $X_i = (x_i, y_i)$ ,  $i = 0..n$ ,  $x_0 < x_1 < \dots < x_n$ , nazývame funkciu  $f(x)$ , pre ktorú na intervale  $\langle x_0, x_n \rangle$  platí:

- $f(x) = f_k(x)$  na intervale  $\langle x_k, x_{k+1} \rangle$ , kde  $f_k$  je polynóm stupňa  $m$ ,
- $f(x)$  má spojité derivácie  $f(0), f(1), \dots, f(m-1)$ .

Najčastejšie sa používajú kubické spline funkcie ( $m = 3$ )

# CATMULL-ROM SPLINE KRIVKA (1974)

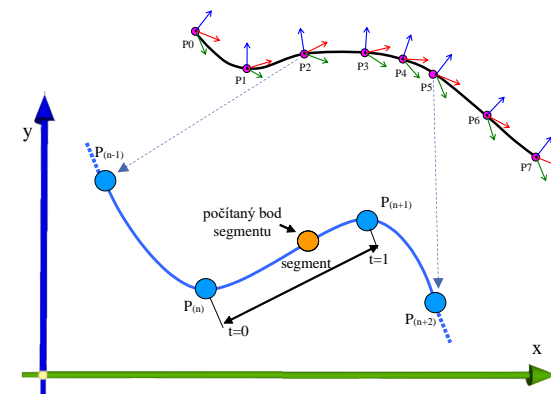
Patrí medzi interpolačné krivky. Krivka prechádza cez všetky riadiace body  $P_i$ . Neexistujú žiadne diskontinuity v smere a veľkosti dotyčnice ( $C^1$ ) ale druhá derivácia je lineárne interpolovaná v rámci každého segmentu (nie je  $C^2$ ), čo spôsobuje, že zakrivenie sa lineárne mení po dĺžke segmentu. Výsledné body segmentu krivky môžu ležať mimo domény  $P_1 \rightarrow P_2$ . Aj keď segment splinu je definovaný pomocou štyroch riadiacich bodov, spline môže mať ľubovoľný počet ďalších riadiacich bodov.



Ed Catmull



R. Rom



$$Q(t) = \frac{1}{2} \cdot (A \cdot t^0 + B \cdot t + C \cdot t^2 + D \cdot t^3), \quad t \in \langle 0,1 \rangle$$

$$A = 2 \cdot P_{(n)xyz}$$

$$B = -P_{(n-1)xyz} + P_{(n+1)xyz}$$

$$C = 2 \cdot P_{(n-1)xyz} - 5 \cdot P_{(n)xyz} + 4 \cdot P_{(n+1)xyz} - P_{(n+2)xyz}$$

$$D = -P_{(n-1)xyz} + 3 \cdot P_{(n)xyz} - 3 \cdot P_{(n+1)xyz} + P_{(n+2)xyz}$$

$$P_i \in E^3(E^2)$$

# B-SPLINE KRIVKA

*B-spline krivky sú zovšeobecnením Beziérových kriviek, miesto Bernsteinových polynómov sa používajú jednoduchšie funkcie.*



Kubický Coonsov B-spline

Coonsove polynómy  
(S.A.Coons, 1966)

$$\mathbf{R}(t) = \sum_{i=0}^3 \mathbf{P}_i \cdot Co_i(t), \quad t \in \langle 0,1 \rangle$$

$P_i \in E^3(E^2)$

# B-SPLINE KRIVKA

Kubický Coonsov B-spline  $\mathbf{R}(t) = \sum_{i=0}^3 \mathbf{P}_i \cdot Co_i(t)$  ,  $t \in \langle 0,1 \rangle$

kde:

$\left\{ \begin{matrix} n \\ \mathbf{P}_i \\ i=0 \end{matrix} \right\}$  sú polohové vektory radiacích vrcholov pre  $i = 0-3$

$$Co_0(t) = -\frac{1}{6} \cdot t^3 + \frac{1}{2} \cdot t^2 - \frac{1}{2} \cdot t + \frac{1}{6}$$

$$Co_1(t) = \frac{1}{2} \cdot t^3 - t^2 + \frac{2}{3}$$

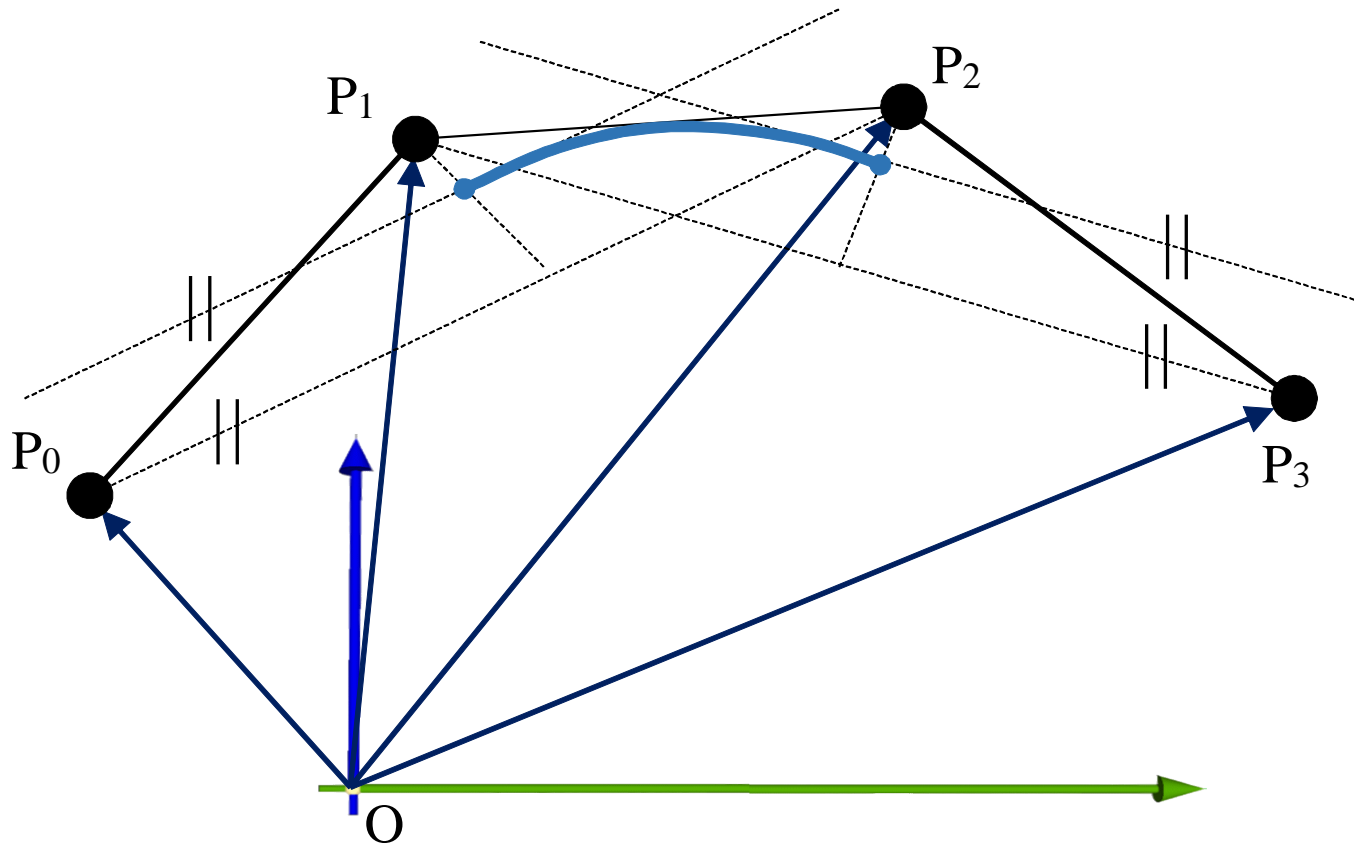
$$Co_2(t) = -\frac{1}{2} \cdot t^3 + \frac{1}{2} \cdot t^2 + \frac{1}{2} \cdot t + \frac{1}{6}$$

$$Co_3(t) = \frac{1}{6} \cdot t^3$$

} pre  $t \in \langle 0,1 \rangle$

# B-SPLINE KRIVKA

## Kubický Coonsov B-spline



# VLASTNOSTI B-SPLINE KRIVKY

Základné vlastnosti B-spline krivky stupňa  $n$ :

- je aproximačná a je uniformná
- špeciálne zadané vstupné hodnoty (násobnosti) spôsobia, že krivka začína v bode  $P_0$  a končí v bode  $P_{L+n-1}$  kde  
 $n = \text{počet riadiacich vrcholov}$   
 $L = \text{počet násobností riadiacich vrcholov}$
- Pseudolokálna kontrola a segmentovateľnosť
- Afinná invariancia (po aplikovaní afinných transformácií zachováva tvar)



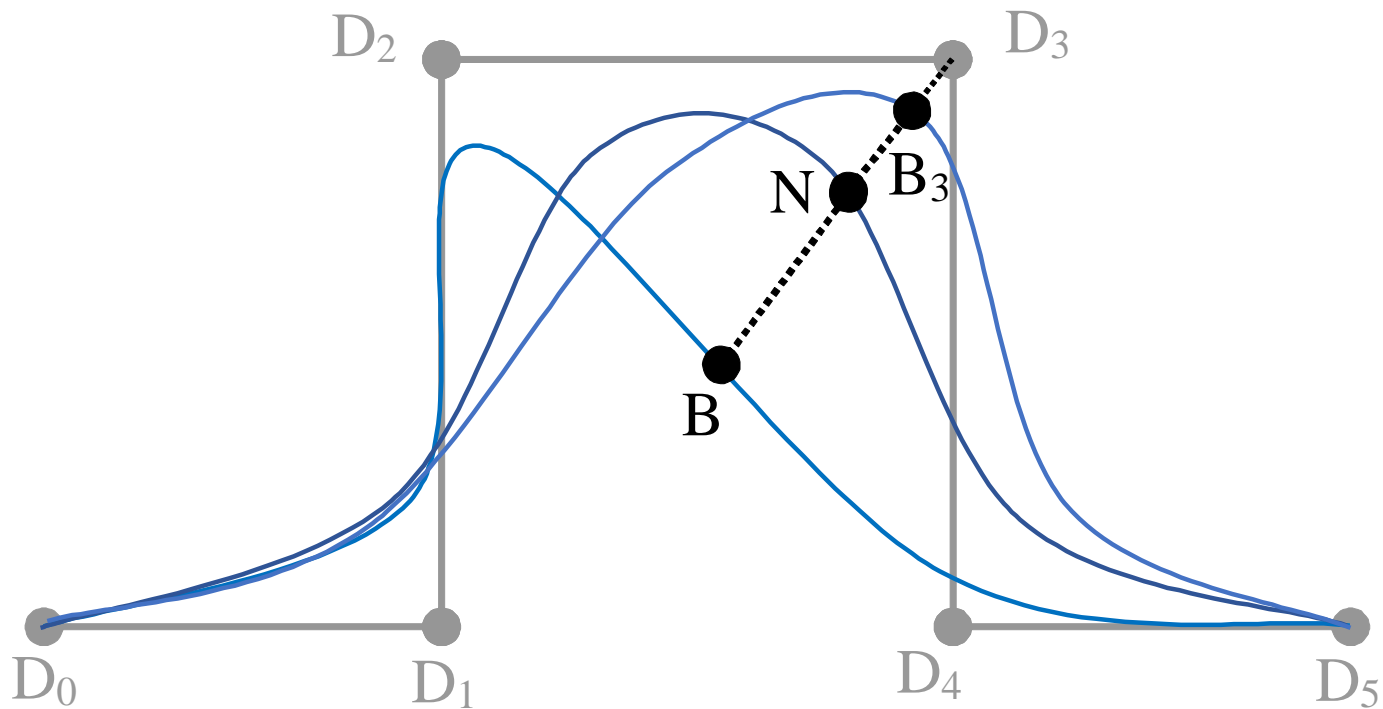
# POROVNANIE BÉZIEROVEJ A B-SPLINE KRIVKY

Ak porovnáme Bézierové krivky a B-spline krivky pre daný polygón  $\{P_i\}$ ,  $i=0..n$ , tak potom:

- Bézierova krivka je stupňa  $n$ , avšak B-spline krivka je zložená z  $n-1$  segmentov (prvý segment je určený bodmi  $P_0, P_1, P_2, P_3$ , druhý segment bodmi  $P_1, P_2, P_3, P_4$  atď.), z ktorých každý je popísaný polynómom tretieho stupňa.
- Nevýhodou B-spline kriviek je, že krivka nezačína a nekončí v začiatočnom a koncovom bode polygónu. Túto nevýhodu možno odstrániť tak, že použijeme *náhradný polygón*, alebo sa zmení *násobnosť prvých a posledných prvkov uzlového vektora*.

# RACIONÁLNE KRIVKY

Oproti reálnym pribúdajú váhy riadiacich vrcholov



# UNIFORMNOSŤ A NEUNIFORMNOSŤ

Voľba uzlovej postupnosti (napr  $u_i = i$ ):

- **Uniformná** ak  $u_{i+1} - u_i = \text{konštanta}$  pre všetky  $i$
- **Neuniformná** ľubovoľná neklesajúca postupnosť uzlov

# PLOCHY POUŽÍVANÉ V PG

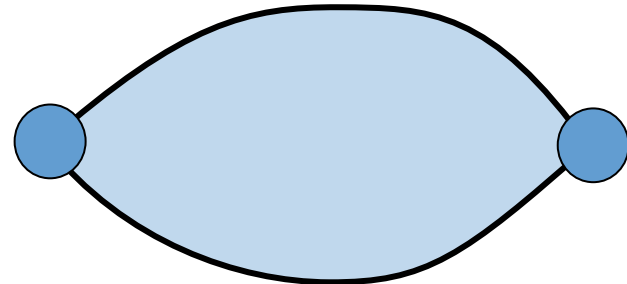
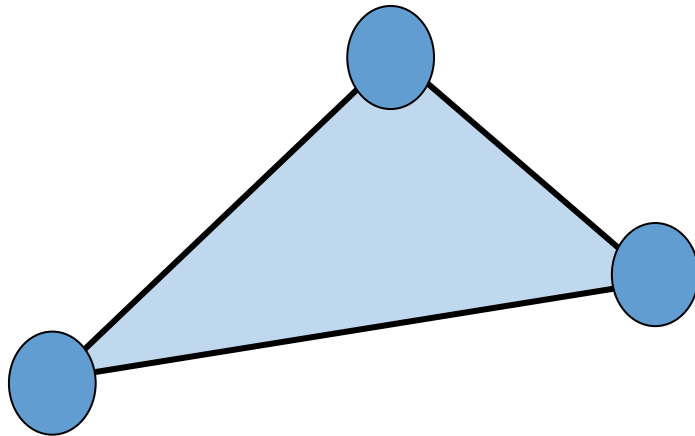
- Plochy dané analytickým popisom
- interpolačné plochy
- aproximačné plochy



# PLOŠNÉ 2D ÚTVARY - TYPY

2D útvar definovaný vrcholmi a hranami -  
**polygón:**

- lineárny
- nelineárny



# POUŽÍVANÉ PLOCHY

- Rovinné (pravítkové) plochy
- Bézierove plochy
- B-spline plochy
- Racionálne B-spline plochy
  - Uniformné
  - Neuniformné

} lineárne

} nelineárne

# MODIFIKOVATEĽNOSŤ PLÔCH

- Zmena polohy riadiacich vrcholov
- Zmena váh riadiacich vrcholov
- Modifikácia uzlových vektorov



# PLOCHY DEFINOVANÉ ANALYTICKY

$$x = f(t)$$

$$\left. \begin{array}{l} y = g(t) \\ z = h(t) \end{array} \right\} t \in \langle zac, kon \rangle$$

$$z = h(t)$$

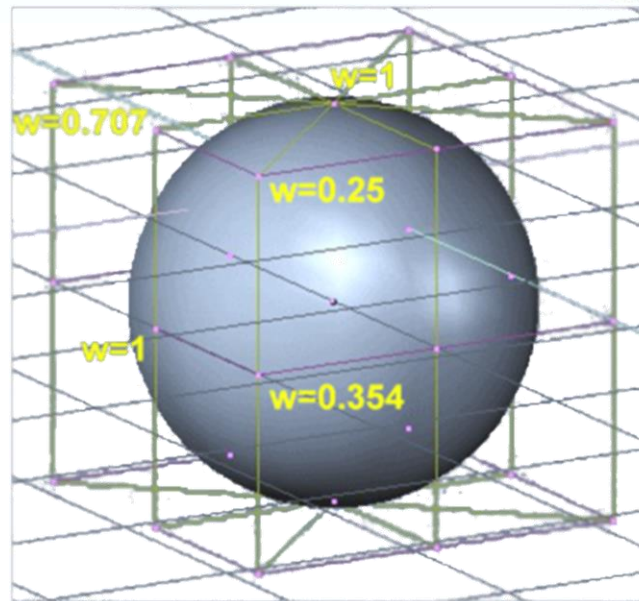
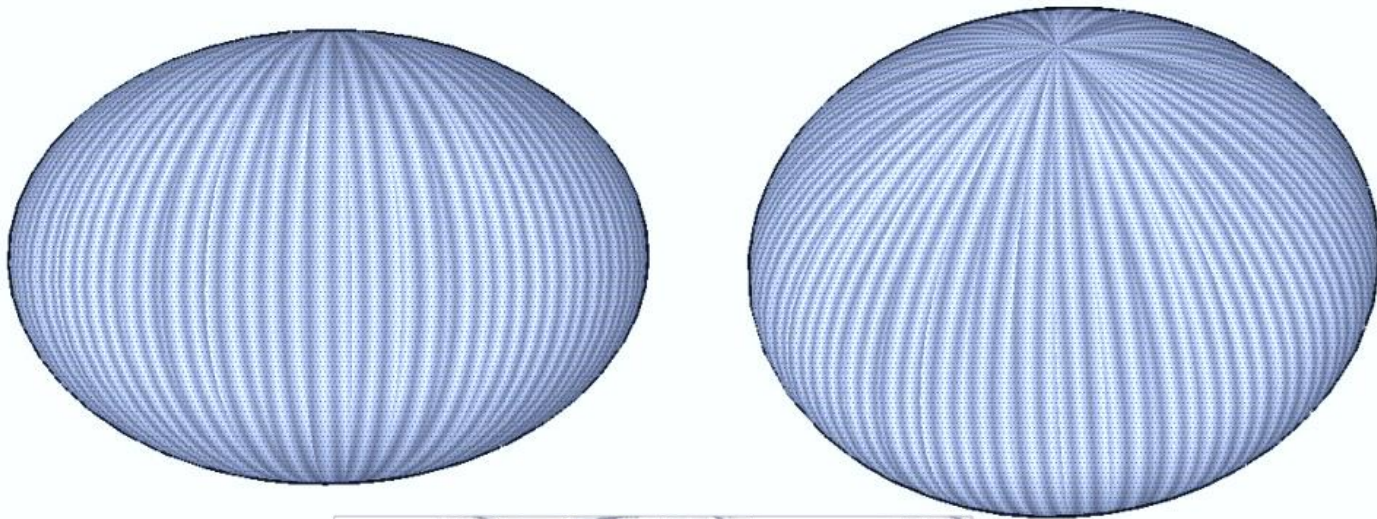
kde  $t$  je parameter funkcie

alebo

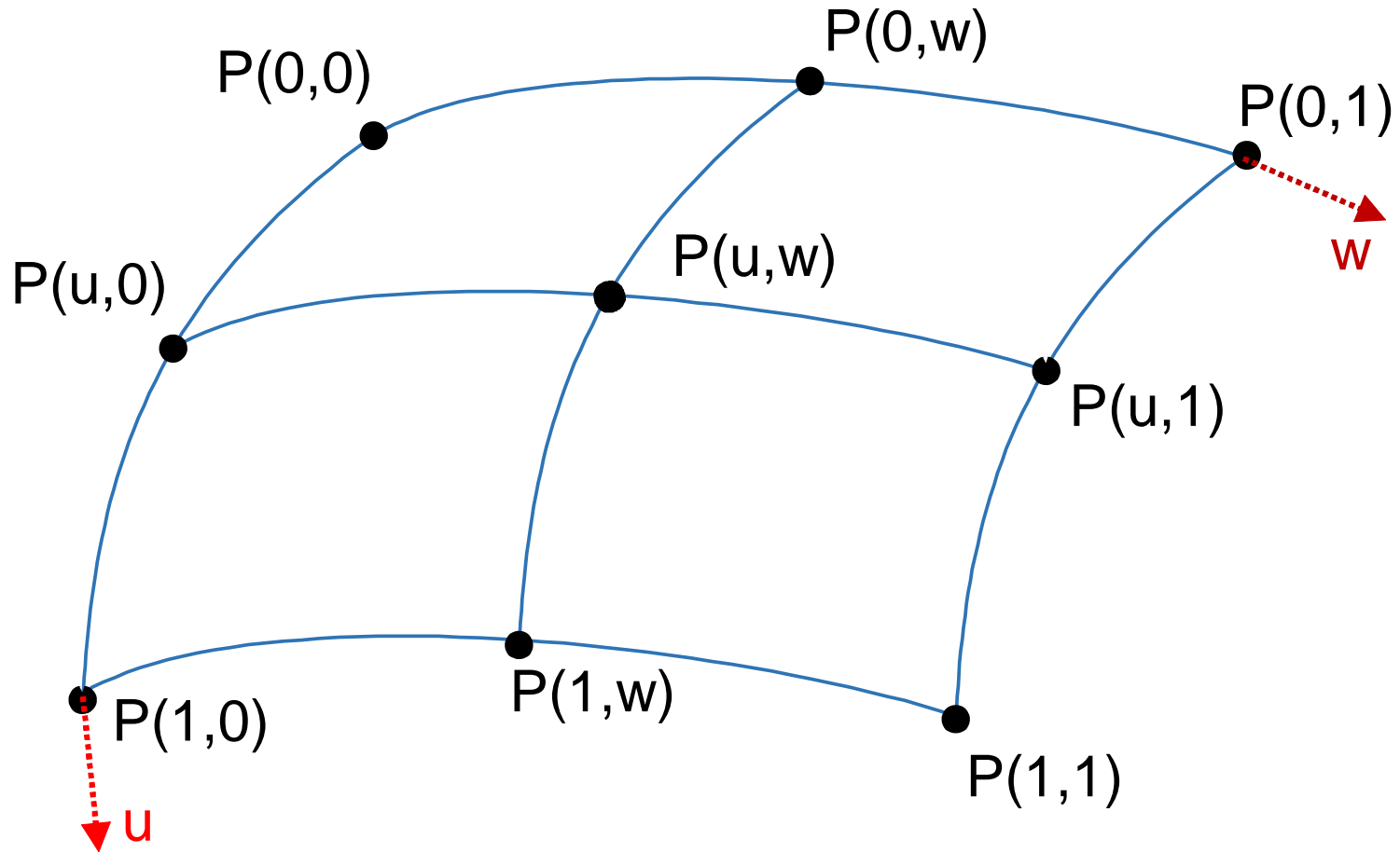
$$z = f(x, y) \quad x \in \langle zac_x, kon_x \rangle, y \in \langle zac_y, kon_y \rangle$$



# PRÍKLADY PRAVIDELNÝCH ANALYTICKÝCH PLÔCH



# BILINEÁRNA COONSOVA PLOCHA



# BILINEÁRNA COONSOVA PLOCHA

Pokiaľ protiľahlé strany budú úsečky, dostaneme tzv. **priamkovú** (pravítkovú) plochu. Coonsova bilineárna plocha je teda všeobecnejšia ako plocha priamková.



# BILINEÁRNA COONSOVA PLOCHA

$$\begin{bmatrix} 1-u & -1 & u \end{bmatrix} * \mathbf{M} * \begin{bmatrix} 1-w & -1 & w \end{bmatrix}^T = 0$$

kde:

$u$  a  $w$  sú parametre ( $u \in \langle 0, 1 \rangle$ ,  $w \in \langle 0, 1 \rangle$ ), pretože bilineárny plát je určený okrajom  $P(u,0)$ ,  $P(u,1)$ ,  $P(0,w)$  a  $P(1,w)$

$$\mathbf{M} = \begin{bmatrix} \mathbf{P}_{xyz}(0,0) & \mathbf{P}_{xyz}(0,w) & \mathbf{P}_{xyz}(0,1) \\ \mathbf{P}_{xyz}(u,0) & \mathbf{P}_{xyz}(u,w) & \mathbf{P}_{xyz}(u,1) \\ \mathbf{P}_{xyz}(1,0) & \mathbf{P}_{xyz}(1,w) & \mathbf{P}_{xyz}(1,1) \end{bmatrix}$$

# BILINEÁRNA COONSOVA PLOCHA

tvar sa prevedie na explicitný, čím dostaneme:

$$P(u, w) = [1 - u, u] * [P(0, w), P(1, w)]^T + [P(u, 0), P(u, 1)] * [1 - w, w]^T - [1 - u, u] * Q * [1 - w, w]$$

kde  $Q$  je matica:

$$Q = \begin{bmatrix} P_{xyz}(0,0) & P_{xyz}(0,1) \\ P_{xyz}(1,0) & P_{xyz}(1,1) \end{bmatrix}$$

# BIKUBICKÁ COONSOVA PLOCHA

Je ďalším typom Coonsových plôch a predstavuje rozšírenie bilineárnej plochy, ale jej zadávanie a tvar je rovnaké. Rovnica popisujúca túto plochu je modifikáciou rovnice pre bilineárnu plochu.

$$\left[ F_1(u), -1, F_2(u) \right] * \mathbf{M} * \left[ F_1(w), -1, F_2(w) \right]^T = 0$$

kde  $\mathbf{M}$  je matica ako u bilineárnej plochy a  $F_1, F_2$  sú známe Fergusonove polynómy :

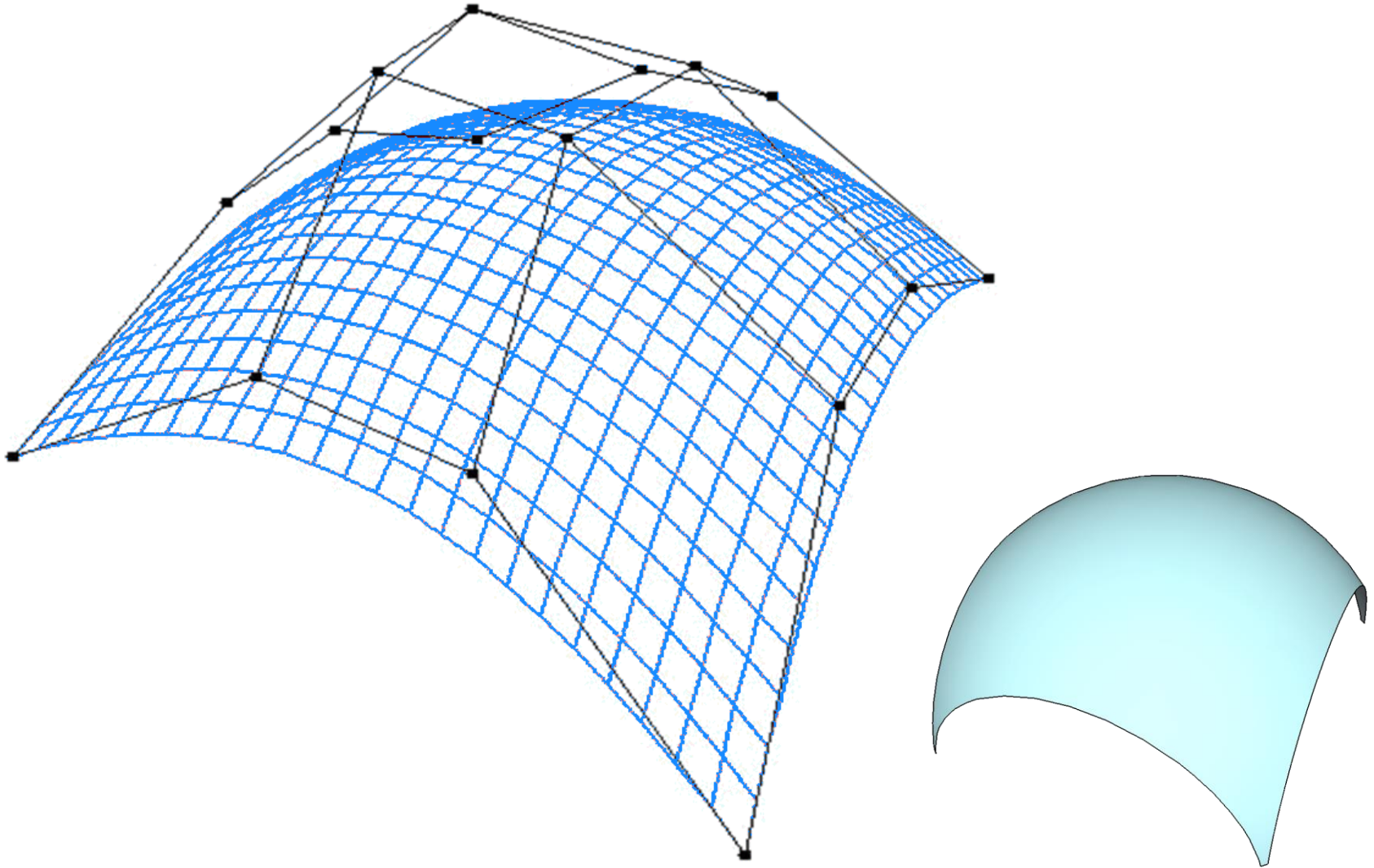
$$F_1(t) = 2 \cdot t^3 - 3 \cdot t^2 + 1$$

$$F_2(t) = -2 \cdot t^3 + 3 \cdot t^2$$

Pre lepšiu implementovateľnosť túto rovnicu upravíme a dostaneme analogickú explicitnú rovnicu ako v prípade bilineárnej plochy.

*Základným problémom Coonsových plôch tohto typu je veľmi ťažké vyjadrenie priamych dotyčnicových vektorov, čím sa obtiažne dosahuje hladké spojenie dvoch Coonsových plátov.*

# BÉZIEROVA BIKUBICKÁ PLOCHA





# BÉZIEROVA BIKUBICKÁ PLOCHA

Základná Bézierova plocha je nazývaná aj *Beziérová bikubická plocha* a je daná maticou  $4 \times 4$  bodov, teda 16-imi uzlami  $B_{ij}$ ,  $i, j = 0, 1, 2, 3$ . Plocha je následne definovaná explicitnou rovnicou:

$$z = [E(u), F(u), G(u), H(u)] * \mathbf{B} * [E(w), F(w), G(w), H(w)]^T$$



# BÉZIEROVA BIKUBICKÁ PLOCHA

$$z = [E(u), F(u), G(u), H(u)] * \mathbf{B} * [E(w), F(w), G(w), H(w)]^T$$

kde  $E(t)$ ,  $F(t)$ ,  $G(t)$ ,  $H(t)$  sú kubické Bernsteinove polynómy definované nasledovne:

$$E(t) = (1 - t)^3$$

$$F(t) = 3 \cdot t \cdot (1 - t)^2$$

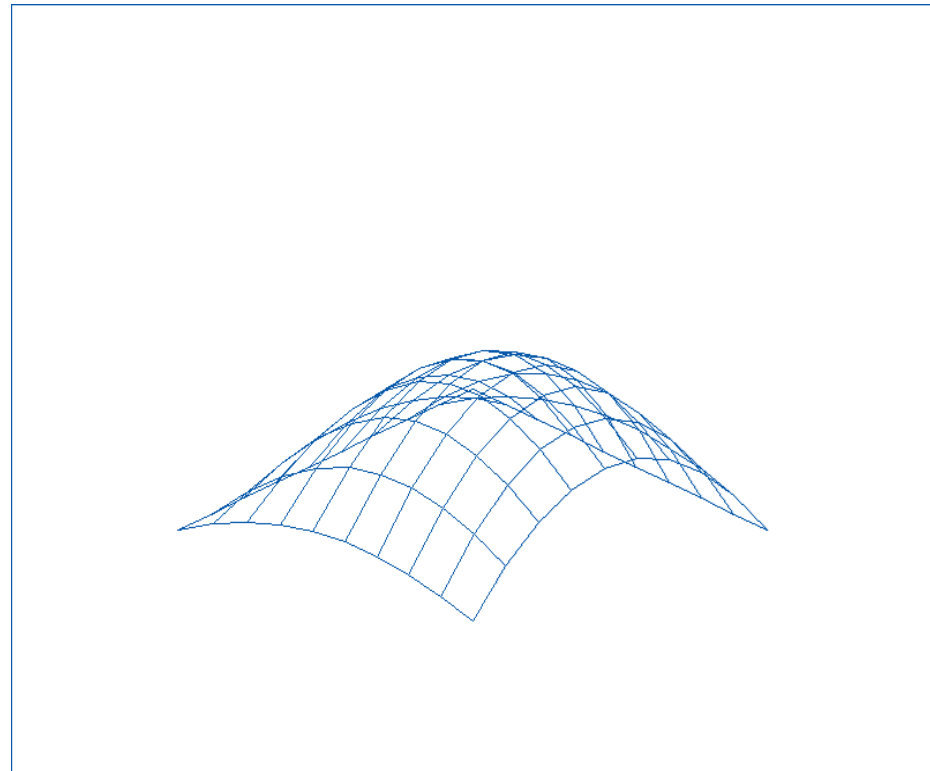
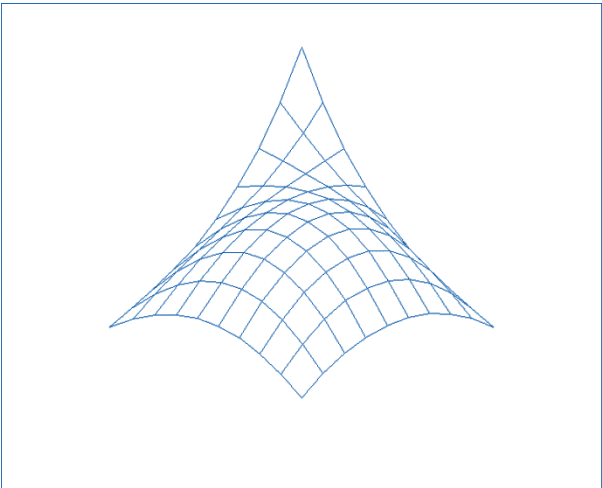
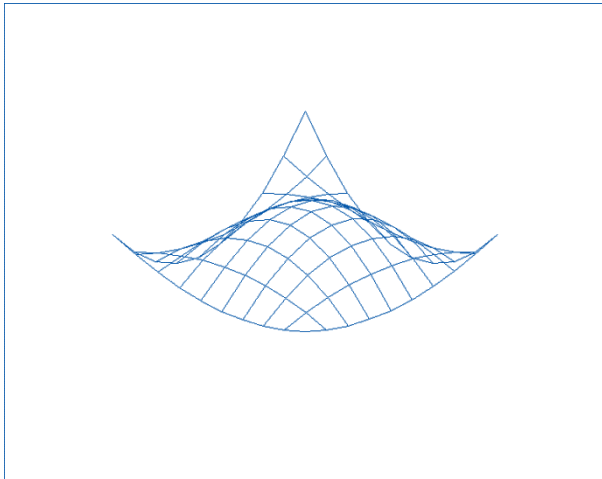
$$G(t) = 3 \cdot t^2 (1 - t)$$

$$H(t) = t^3$$

$\mathbf{B}$  je matica vrcholov  
riadiacej siete:

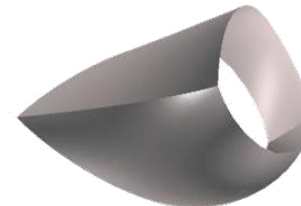
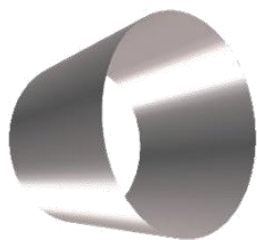
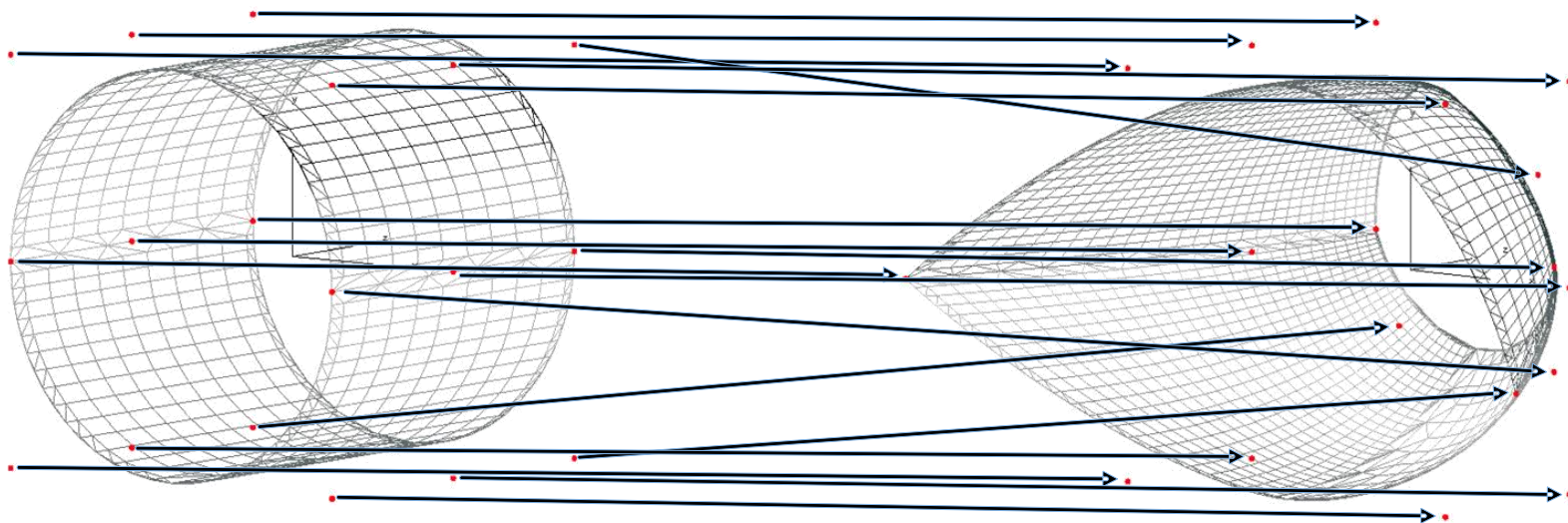
$$\mathbf{B} = \begin{bmatrix} B_{00xyz} & B_{01xyz} & B_{02xyz} & B_{03xyz} \\ B_{10xyz} & B_{11xyz} & B_{12xyz} & B_{13xyz} \\ B_{20xyz} & B_{21xyz} & B_{22xyz} & B_{23xyz} \\ B_{30xyz} & B_{31xyz} & B_{32xyz} & B_{33xyz} \end{bmatrix}$$

# BÉZIEROVA BIKUBICKÁ PLOCHA - PRÍKLADY

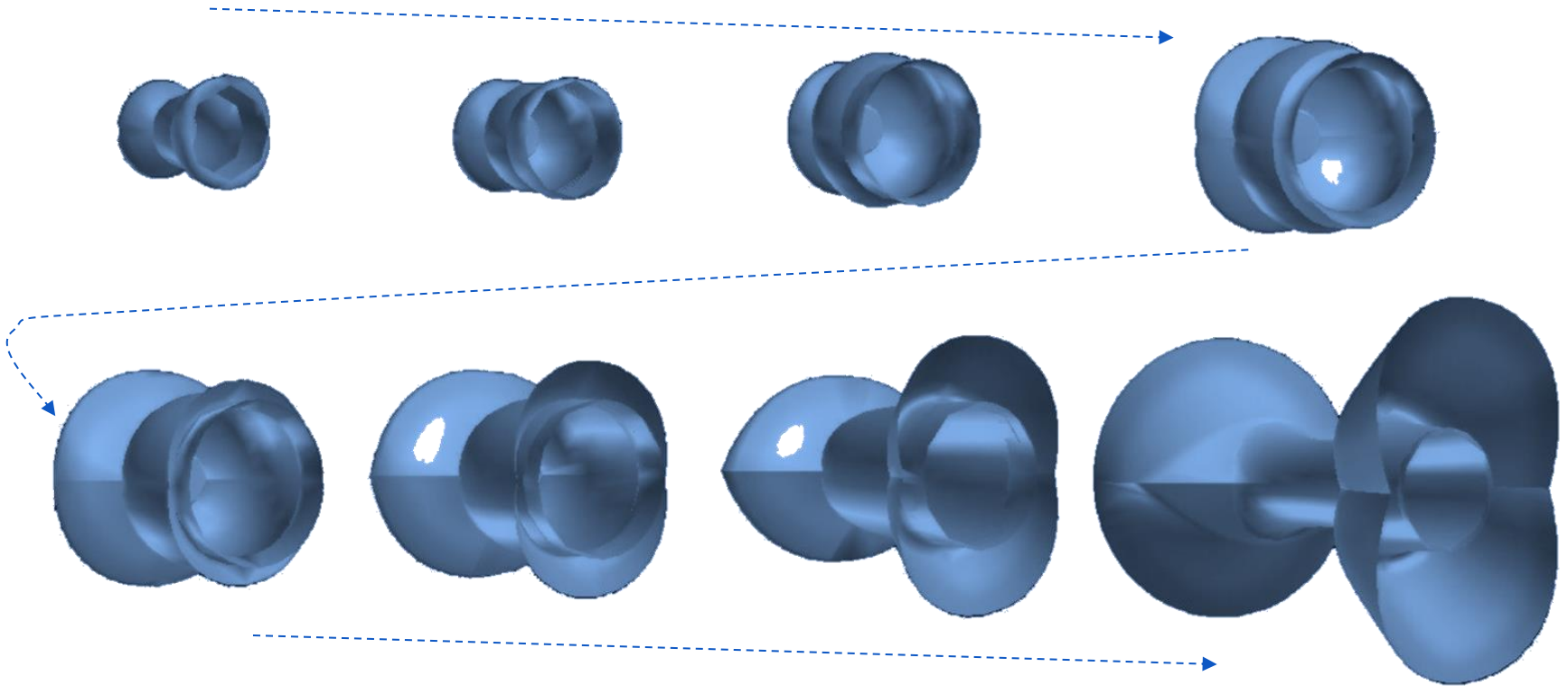


# MORPHING, WARPING

## 3D, MORFOVANÉ POLOHOU RIADIACICH BODOV



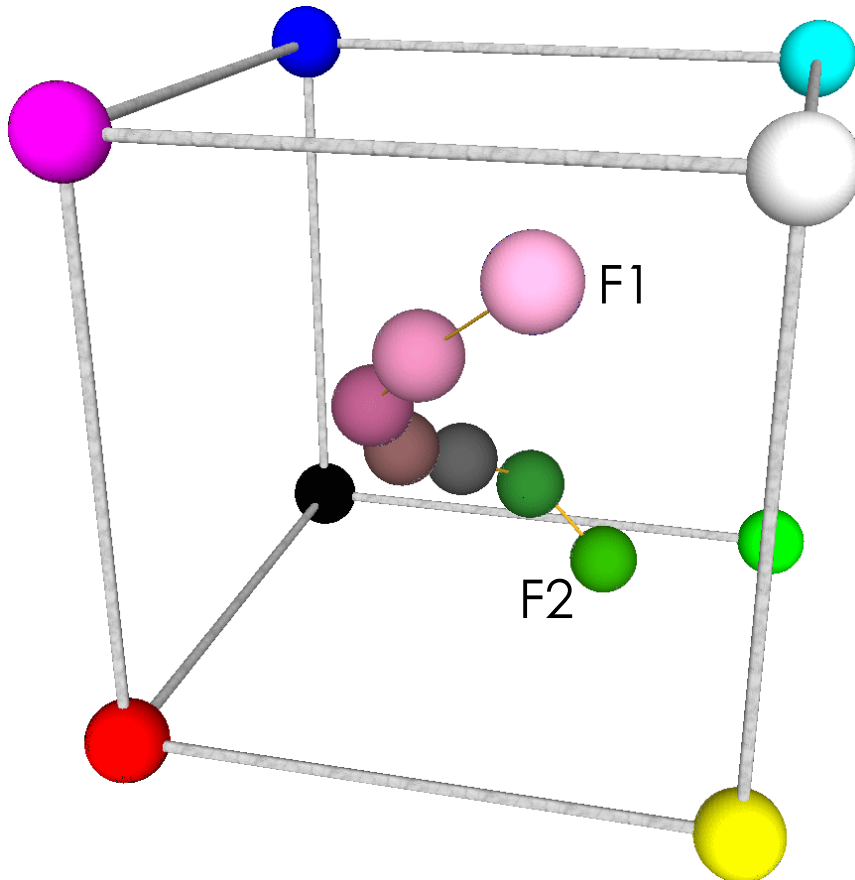
# MORPHING, WARPING (3D)



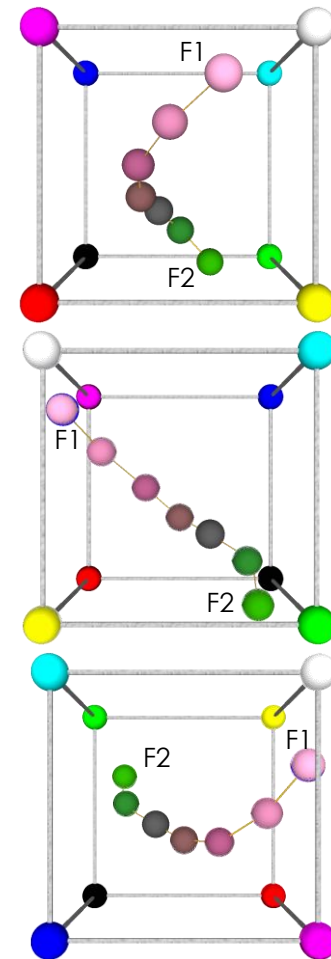
(KPI FEI TU Košice)

# PRÍKLADY POUŽITIA KRIVKY VO FAREBNOM PRIESTORE

## NELINEÁRNE ALFA-MIEŠANIE



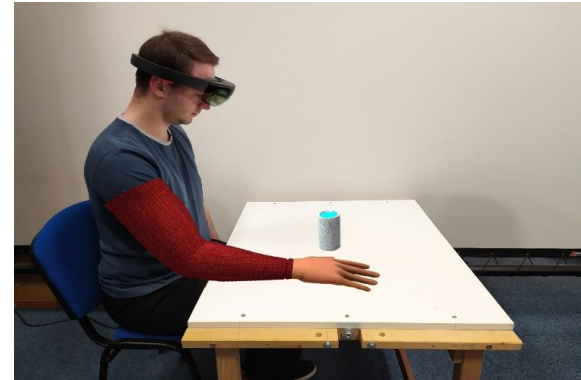
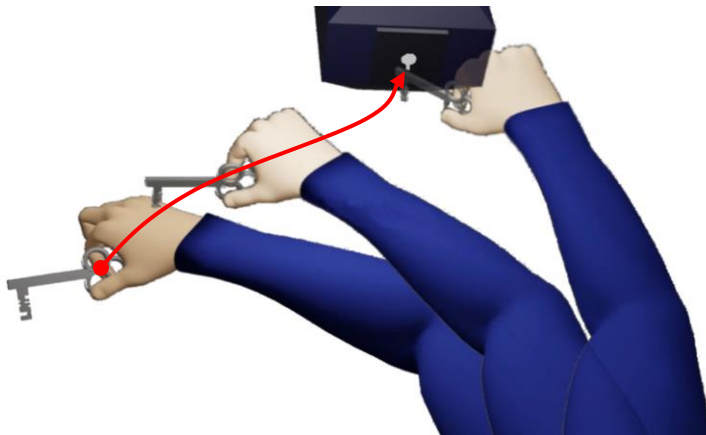
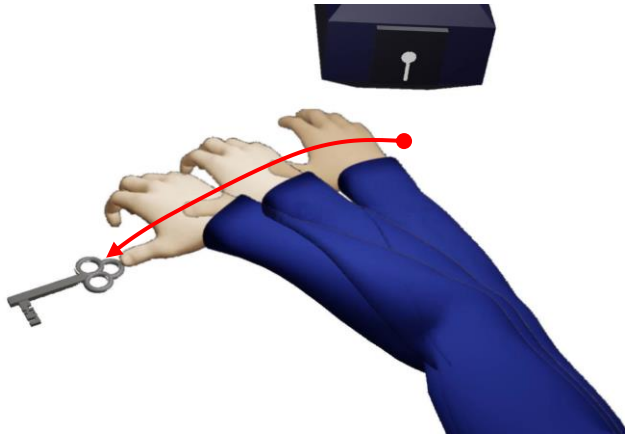
nelineárny prechod  $F(\alpha)1-F(\alpha)2$   
pri alfa miešaní, RGB priestor



(zdroj KPI FEI TU Košice)

# PRÍKLADY TRAJEKTÓRIE POHYBU RUKY

## SPRACOVANIE TRAJEKTÓRIÍ MODELOVANIA POHYBOV OSÔB



(LIRKIS KPI FEI TU Košice)

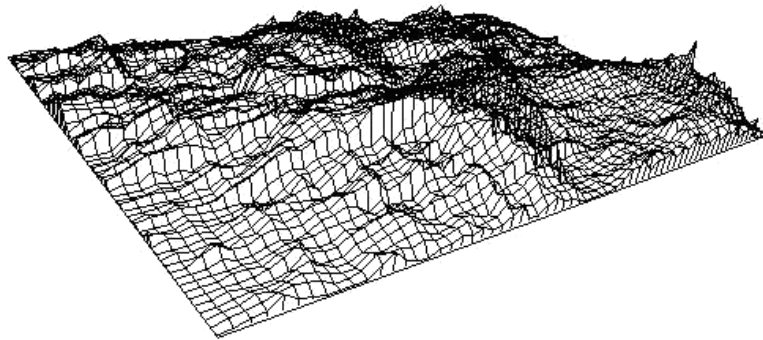
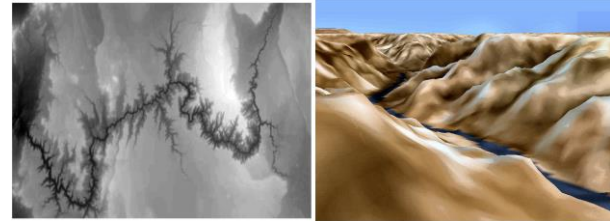
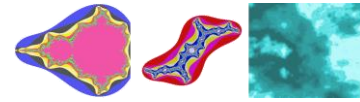
Príklad pohybu ruky po trajektórii definovanej pomocou krivky ( rehabilitácia paretickej ruky, inverzná kinematika, pohľad pacienta )



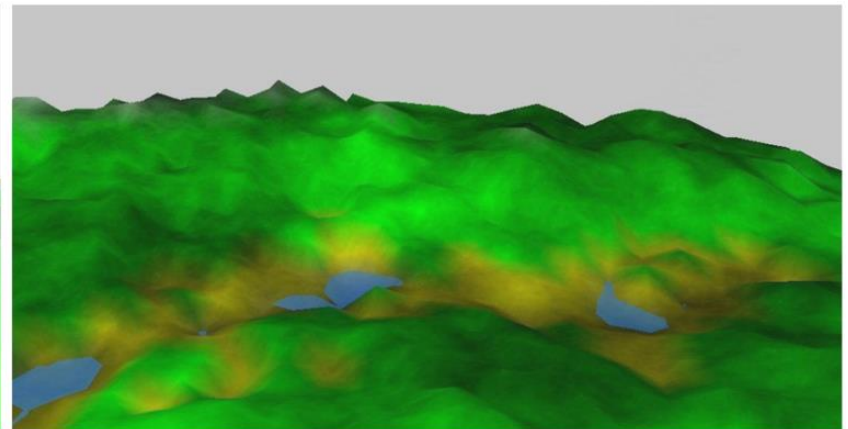
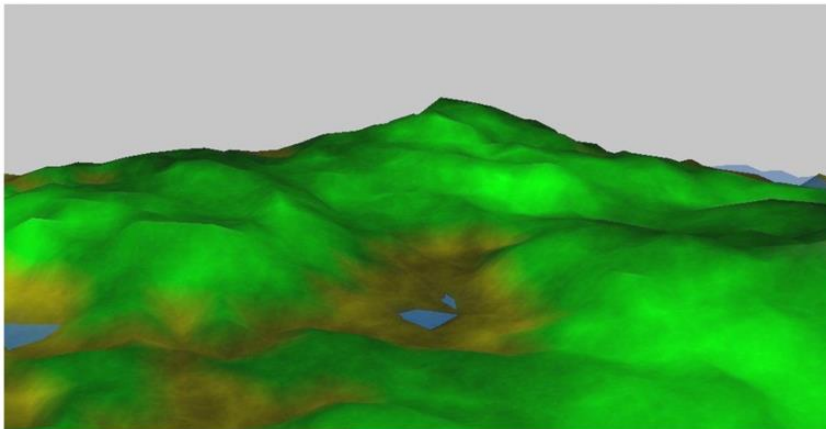
# PRÍKLADY POUŽITIA POVRCHOV

Digitálny terén:

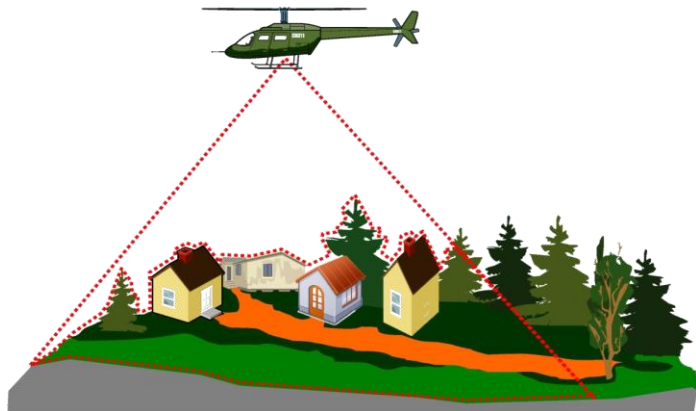
- drôtový, polygonálny,
- preložený plochou vyššej úrovne



(KPI FEI TU Košice)



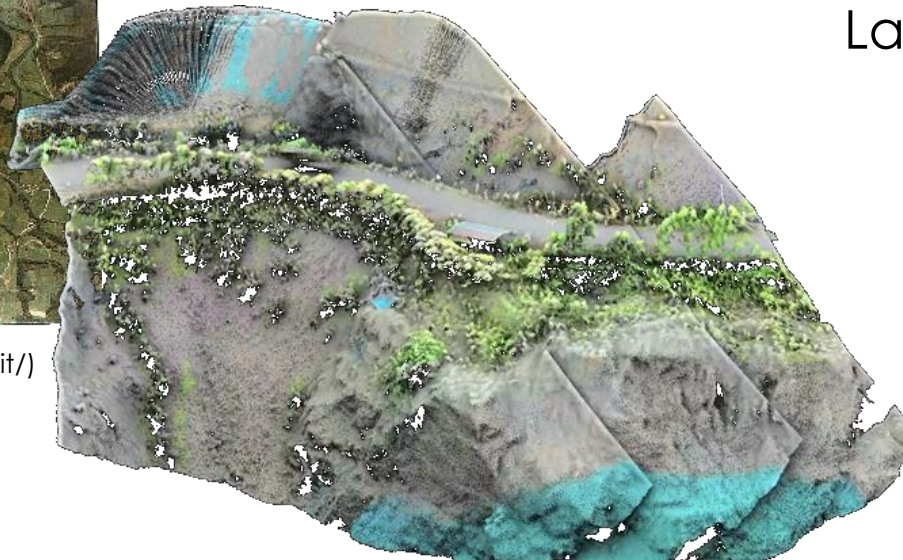
# PRÍKLADY POUŽITIA PLÔCH PRI SPRACOVANÍ VÝSLEDKOV 3D SKENOVANIA TERÉNU



Lidar



(zdroj <https://www.microgeo.it/>)



Laserový 3D skener

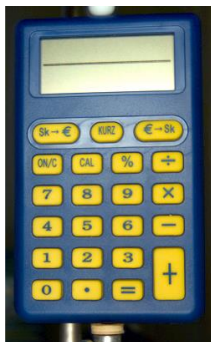


(LIRKIS KPI FEI TU Košice)

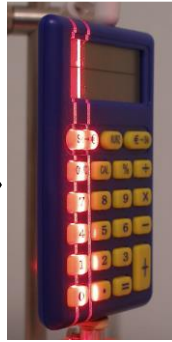


# PRÍKLADY POUŽITIA PLÔCH

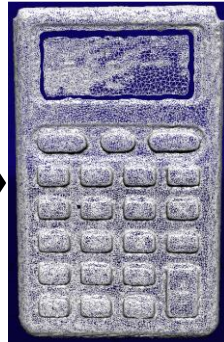
## PRI SPRACOVANÍ VÝSLEDKOV 3D SKENOVANIA A PRI 3D TLAČI



(a)



(b)



(c)



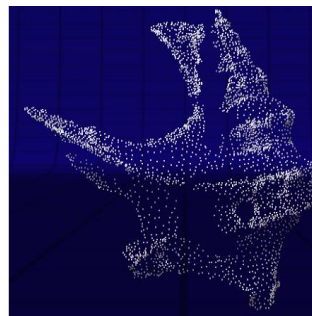
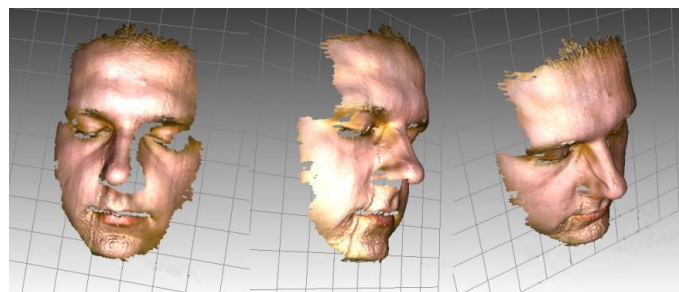
(d)



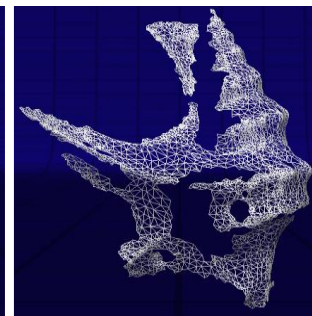
(e)



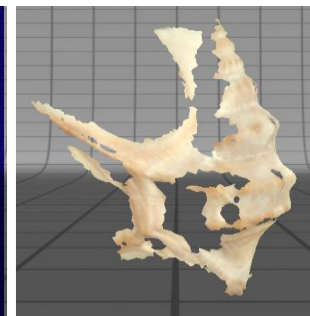
(LIRKIS KPI FEI TU Košice)



(a)



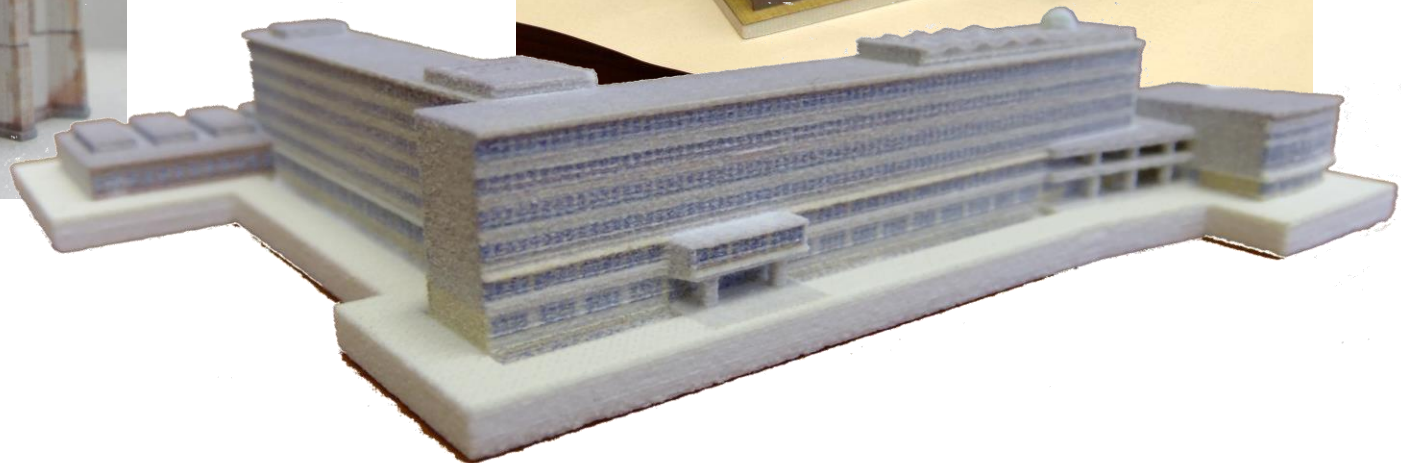
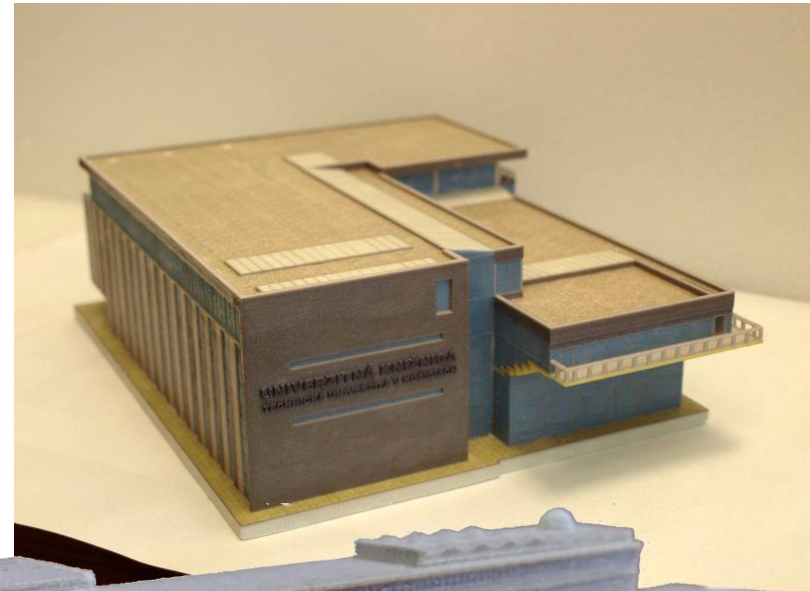
(b)



(c)

# PRÍKLADY POUŽITIA PLÔCH

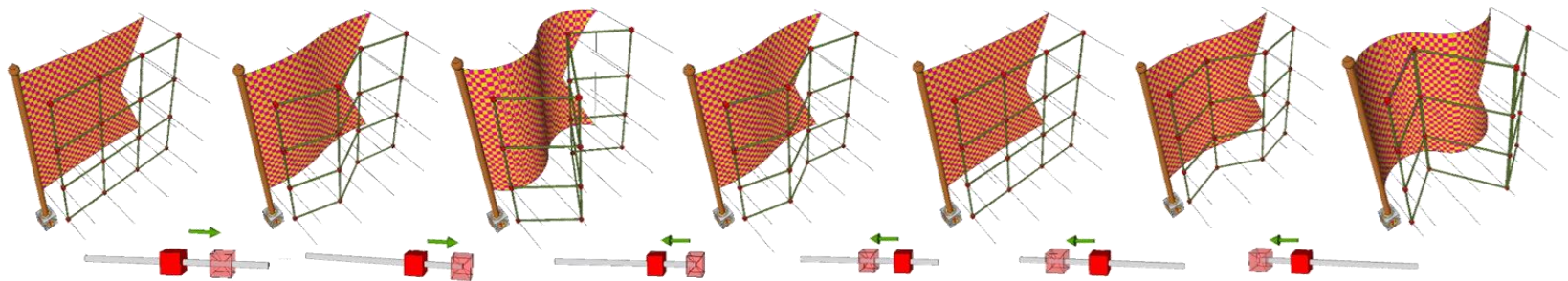
## PRI SPRACOVANÍ VÝSLEDKOV 3D SKENOVANIA A PRI 3D TLAČI



(LIRKIS KPI FEI TU Košice)

# OSTATNÉ VYUŽITIE KRIVIEK A PLÔCH

- pre použitie v časových osiach animácií
- ako vstupné parametre pri simulácii prírodných tvarov a javov
- ako prechodové krivky pri práci s farebným priestorom (napr. pri alfa-miešaní)
- ako základ pre evolučné a genetické algoritmy
- pri spracovaní trajektórií v prípade rôznych fyzikálnych simulácií vrátane inverznej kinematiky a modelovania pohybov osôb a živočíchov (vrátane mimických)



Ukážka riadenia povievania zástavy pomocou riadiach bodov bikubickej plochy



# Q & A

[branislav.sobota@tuke.sk](mailto:branislav.sobota@tuke.sk)

Katedra počítačov a informatiky, FEI TU v Košiciach

© 2024